

慶應大学工学部 正員 大賀水田生
 德山高専 正員 重松 恒美
 德山高専 正員 原 隆

1. まえがき 著者らは通常の有限要素法に用いられる剛性マトリックスより誘導される伝達マトリックスを用いた方法(FETM法)を線形問題に適用し、解の精度を落すことなく、有限要素法が必要なマトリックスサイズよりもかなり小さなマトリックスの演算により解を求めることが可能であることを報告している。そこで、本研究ではFETM法の非線形問題への適用を試み、二、三の数値計算を行い、得られた結果を有限要素法などによる結果と比較することにより、本法の非線形問題への適用の妥当性・有効性を検討する。解析手法としては増分法を用い、弾塑性力学に関して材料は Prandtl-Reuss の式に従うものとし、降伏の判断には Von Mises の降伏条件を用いた。さらに移動座標を用い、剛体変位を除去することにより幾何学的非線形性を考慮した。

2. FETM法の概要 図-1(a)に示される板Eulerのstripに分割し、さらにそれをn個のstripで2(n+1)個の有限要素に分割する(図-1(b))。次に要素剛性マトリックスをそれぞれのstripに組み込むことにより得られるstrip剛性マトリックスを変換することにより strip の左側節線上の節点変位と節点力を右側節線上のそれらと結び付ける伝達マトリックスが次のように求められる。

$$\begin{Bmatrix} \delta_n \\ F_n \end{Bmatrix} = \begin{Bmatrix} -K_{ee}^{-1} & K_{er}^{-1} \\ K_{re}-K_{rr}K_{er}^{-1}K_{ee} & K_{rr}^{-1} \end{Bmatrix} \begin{Bmatrix} \delta_e \\ F_e \end{Bmatrix} \quad (1)$$

ここで δ_n , δ_e , F_n , F_e はそれぞれ strip の左側および右側節線上の節点変位と節点力、 K_{ee} , K_{er} , K_{re} , K_{rr} はそれぞれ strip 剛性マトリックス K のサブマトリックス。

得られた伝達マトリックスを掛け合すことにより、左端の状態量を左端に伝達し、左端の境界条件を考慮することにより未知状態量を決定する。

3. 接線剛性マトリックスの誘導 本研究においては要素として図-2に示す3節点自由度 (u , v , w , θ_x , θ_y) を有する三角形要素を使用した。ところが 解析は荷重増分法に基づいており、ひずみ増分と変位増分の関係は次のようになります。

$$\Delta \epsilon = \Delta \epsilon_p + \Delta \epsilon_g + \Delta \epsilon_0 - \Delta \epsilon_B \quad (2)$$

$$\text{ここで, } \Delta \epsilon_p = \{\partial u / \partial x, \partial v / \partial y, \partial w / \partial z + \partial u / \partial z\}^T, \Delta \epsilon_g = \frac{1}{2} \cdot \left\{ (\partial u / \partial x)^2, (\partial v / \partial y)^2, 2 \partial u \partial v / \partial x \cdot \partial w / \partial z \right\}^T, \Delta \epsilon_0 = \{\partial u / \partial x, \partial v / \partial y, \partial w / \partial z\}^T, \Delta \epsilon_B = \left\{ \frac{1}{2} \partial u \partial v / \partial x^2, \frac{1}{2} \partial u \partial w / \partial x^2, 2 \frac{1}{2} \partial u \partial v \partial w / \partial x \partial z \right\}^T$$

また、応力増分は次式で表わされる。

$$\Delta \sigma = D \Delta \epsilon \quad (3)$$

ここで, D は応力-ひずみマトリックスであり、塑性域においては Prandtl-Reuss の式や Von Mises の降伏条件

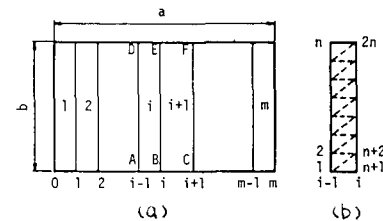


図-1 要素分割

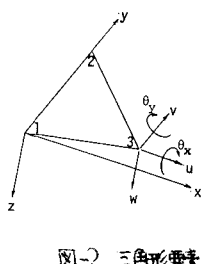
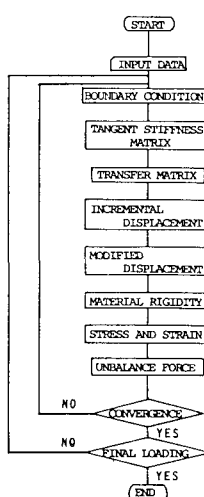


図-2 三角形要素

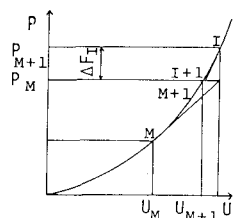


図-3 フロード

図-4 収束計算

を適用することにより得られる応力-ひずみマトリックス D_p を用いる。また、塑性域での収束計算におけるくり返し回数を低減するため、増分荷重に対して弾性域から塑性域に移行する要素については、次式で与えられる応力-ひずみマトリックス D_{sp} を使用した。ただし、 r は重み係数である。

$$D_{sp} = r D_p + (1-r) D_p \quad (4)$$

そして、接線剛性マトリックス K は式(2), (3) で表わされるひずみ増分、応力増分を用いて、仮想仕事の原理により説明される。

3. 計算手順 本研究で開発したFETM法の弾塑性有限変位解析プログラムのフローチャートを図-3に示す。この解析手順は荷重増分法による有限要素法のそれと類似しているが、変位増分の推定において有限要素法では構造物全体の剛性マトリックスを組み立てて必要があるのに対し、本法では伝達マトリックス法の手順により変位増分の推定を行つて、一つの strip の剛性マトリックスを組み立ててから解析を行ふ特徴を有している。収束計算は図-4に示すようなNewton-Raphson 法により行った。さらに、塑性化した要素の応力分布を考慮するため板厚方向に層割りを行つたが、その際、各層での応力分布は直線分布とし、精度の向上を計った。

4. 数値計算および検討 開発したプログラムを用いて数値計算を行つた。図-5に周辺固定の板が等分布荷重を受ける場合のセンターアーの荷重-たわみ曲線を示している。なお、解析モデルは対称性を考慮して $1/4$ 板とし、分割数は 3-3, 4-4, そして 5-5 の 3通りとした。また、ここでは幾何学的非線形性のみを考慮し、材料的非線形性は考慮していない。本法による結果は川井・吉村、Schmidt そして Harbord による結果より少し大きめであるが良く一致している。図-6にセンターアーの荷重-応力曲線を示しているが、膜応力、引張り応力として圧縮応力をも川井・吉村 および Schmidt による結果と良く一致している。図-7に材料的非線形性も同時に考慮した場合の結果を示している。層割りは 2, 4, 6, 8 であるが、いずれの層数でもたわみ曲線に大きな差は認められない。図-9に図-8に示すような 4 本の中間支柱を有する床版の中間支柱に沿つて線上でのたわみ曲線を示している。この場合の解析モデルは対称性を考慮して $1/2$ 板で、分割数は 8-4 である。本法と同一要素および同一分割数を用いた有限要素法による結果も同時に示しているが、二者は全く一致している。

参考文献

- 1) 見出他; FETMによる板の座屈解析、第15回マトリックス解析法研究発表論議、1981, 7,
- 2) 大貫他; FETMによる板の曲げ解析、土木学会中四支部学術講演概要集、1982, 5,
- 3) 小林他; 残留応力および初期たわみを有する圧縮板の弾塑性解析、土木学会論文報告集、第244号、1975, 12

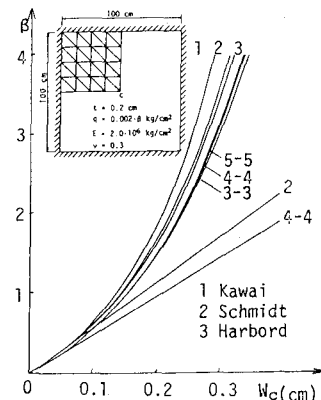


図-5 荷重-たわみ曲線

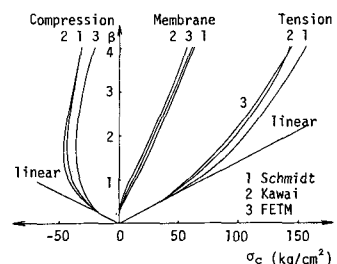


図-6 荷重-応力曲線

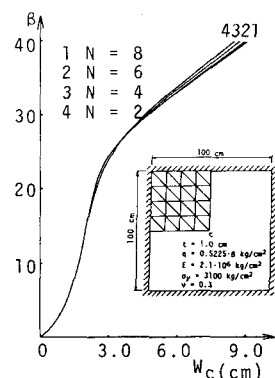


図-7 荷重-たわみ曲線

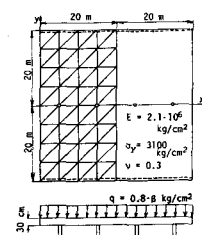


図-8 解析モデル

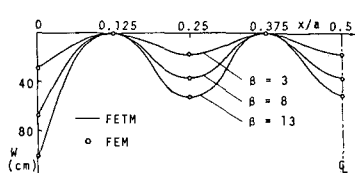


図-9 たわみ曲線